

АКУСТОЭЛЕКТРИЧЕСКИЙ ЭФФЕКТ В ДЖОЗЕФСОНОВСКОМ SNS-ПЕРЕХОДЕ

А.П.Володин¹⁾, Г.Ю.Логвенов, В.В.Рязанов, И.В.Фальковский¹⁾

Экспериментально наблюдался нелинейный акустоэлектрический эффект в джозефсоновском SNS-переходе Ta – Cu – Ta при пропускании через него бегущей низкочастотной звуковой волны. Периодическая амплитудная модуляция звуковой волны приводила к возникновению ступеней постоянного напряжения на вольт-амперной характеристике (ВАХ) перехода.

Бегущая звуковая волна, взаимодействуя с нормальными возбуждениями сверхпроводника, передает им импульс, вызывая ток нормальной компоненты I_n . Это акустоэлектрическое явление родственно термоэлектрическим эффектам в металлах, обусловленным фоночным увлечением электронов^{1,2}. Нормальный ток всюду в объеме сверхпроводника должен компенсироваться током сверхпроводящей компоненты I_s ³. При прохождении звука через джозефсоновский SNS-переход возникающий ток I_s может превысить критический ток перехода I_c и тогда, как в термоэлектрическом случае⁴⁻⁶, должны наблюдаться джозефсоновская генерация и нелинейное возрастание среднего во времени напряжения на переходе при увеличении мощности звукового потока через него. Наблюдению подобных явлений посвящена данная работа.

Впервые акустоэлектрический эффект в металлах был рассмотрен Парментером⁷; Заварцкий наблюдал увлечение звуком электронов в нормальных металлах²; Гальперин, Гуревич, Козуб рассмотрели акустоэлектрические явления в сверхпроводящих кольцах³. В работах Шмидта с сотрудниками⁴⁻⁶ осуществлено экспериментальное наблюдение, сходного с обсуждаемым, термоэлектрического эффекта в джозефсоновском переходе.

В качестве джозефсоновских SNS-переходов в нашей работе использовались сэндвичи Ta – Cu – Ta, приготовленные методом совместной горячей прокатки⁴. Толщины танталовых обкладок сэндвича превышали 0,03 см; толщина медной прослойки составляла 4 – 5 мкм. Переход имел площадь $\sim 0,04 \text{ см}^2$.

При температуре эксперимента $T \approx 0,9 T_c^3$ типичные параметры перехода были следующие: критический ток перехода $I_c \approx 100 \text{ мкА}$, нормальное сопротивление $R_n \approx 10^{-8} \text{ Ом}$, характерное джозефсоновское напряжение $V_c = I_c R_n \approx 10^{-12} \text{ В}$, характерная джозефсоновская частота $f_c \approx 500 \text{ Гц}$. Для записи вольт-амперных и вольт-звуковых характеристик переходов использовался вольтметр на основе ВЧ-сквида с обратной связью по магнитному потоку. Эксперименты проводились в экранированном от магнитного поля криостата с остаточным полем $\leq 10^{-3} \text{ Гс}$.

Через переход, помещенный между кварцевым и медным участками звукопровода, пропускалась бегущая звуковая волна. Источником звука служил магнитострикционный преобразователь с рабочей частотой $\approx 43 \text{ кГц}$, закрепленный на кварцевом участке звукопровода снаружи криостата. За образцом на медном участке звукопровода располагался пьезоэлемент из пьезокерамики ЦТС-19 для контроля проходящей звуковой мощности, которая лежала в пределах 0,01 – 0,5 Вт. Акустическая система с длинным звукопроводом обеспечивала минимальную величину электромагнитных наводок в область SNS-перехода.

На рис. 1 приведены три характеристики одного из переходов, снятые при одинаковой температуре образца $T \approx 0,9 T_c^3$: кривая 1 – обычная вольт-амперная характеристика SNS-перехода, кривая 2 – вольт-тепловая характеристика перехода, подробно обсуждаемая в^{4,6}, кривая 3 – исследуемая зависимость акустоэлектрического напряжения на переходе от проходящей звуковой мощности S . Легко видеть, что все кривые подобны по форме, однако акустоэлектрическое и термоэлектрическое напряжения имеют противоположные знаки при одном направлении теплового и звукового потоков через переход. При пропускании дополнительного тока

нительного переменного тока с частотой $f \cong 0,5$ кГц на всех трех кривых наблюдалась ступени постоянного напряжения при $V_n = n\Phi_0$ (Φ_0 — квант магнитного потока, n — целое число).

Было обнаружено также появление ступеней постоянного напряжения на обычной вольт-амперной характеристике перехода в отсутствии внешнего переменного тока при амплитудной модуляции, идущей через переход звуковой волны, с частотами модуляции $f \lesssim 1,2$ кГц. На рис. 2 показана серия ВАХ перехода, снятая при прохождении звукового потока фиксированной мощности $\sim 0,1$ Вт с различными частотами модуляции $f \cong 520$ Гц, 670 Гц, 970 Гц, 1100 Гц. Стрелками показаны рассчитанные с помощью джозефсоновского соотношения значения положений ступенек V_n . На рис. 3 показаны ВАХ того же перехода, полученные при пропускании через переход звукового потока с фиксированной частотой модуляции $f \cong 510$ Гц, но различной мощности.

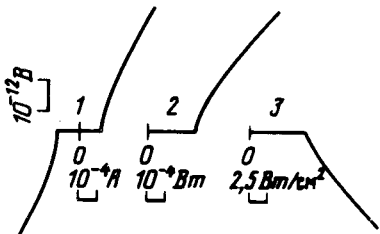


Рис. 1

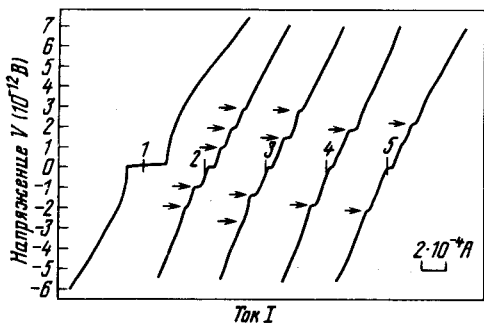


Рис. 2

Рис. 1. Характеристики джозефсоновского SNS-перехода, снятые при $T/T_c^S \approx 0,9$: 1 — вольт-амперная характеристика (ВАХ), критический ток перехода $I_c \approx 100$ мА, 2 — вольт-тепловая характеристика (ВТХ), критический поток тепла $P_c \approx 0,3$ мВт, 3 — вольт-звуковая характеристика (ВЗХ), критический звуковой поток $S_c \approx 5$ Вт/см²

Рис. 2. Набор ВАХ перехода, через который идет звуковой поток мощности $S \approx 0,1$ Вт, но модулированный по амплитуде с различной частотой: 1 — $f \cong 520$ Гц, 2 — $f \cong 670$ Гц, 3 — $f \cong 970$ Гц, 4 — $f \cong 1100$ Гц.

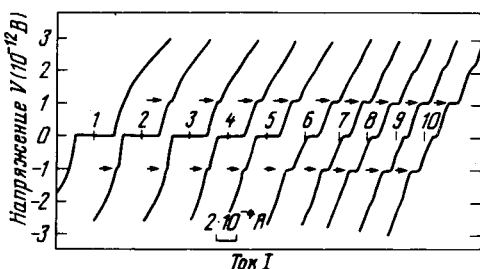


Рис. 3. Набор ВАХ перехода, через который идет звуковой поток с фиксированной частотой модуляции $f \cong 510$ Гц, но с различной мощностью: 1 — 0 Вт/см², 2 — 0,42 Вт/см², 3 — 1,69 Вт/см², 4 — 2,4 Вт/см², 5 — 2,6 Вт/см², 6 — 2,9 Вт/см², 7 — 4,5 Вт/см², 8 — 6,2 Вт/см², 9 — 7,4 Вт/см², 10 — 9,5 Вт/см²

Приведенные выше экспериментальные результаты можно непротиворечиво описать, предположив, что основной вклад в исследуемое акустоэлектрическое напряжение SNS-сэндвича Та — Си — Та вносит медная прослойка. Действительно, экстраполяция литературных данных⁸ в область килогерцевых частот⁹ показывает, что коэффициент затухания звука Γ_{Ta} не может превышать Γ_{Cu} ; однако, даже при равенстве этих величин вклад сверхпроводника, обвязанный возникновению в нем неравновесного электрического поля¹⁰, по нашим оценкам, значительно меньше вклада нормальной прослойки. Таким образом, наблюдаемый эффект (рис. 1, кривая 3) связан с возникновением акустоэлектрического тока в медной прослойке³:

$$I_n = - \frac{A \Gamma_{\text{Cu}}}{\rho N e c} S.$$

Здесь A — площадь перехода, e — заряд электрона, N и ρ — плотность электронов проводимости и удельное сопротивление меди, c — скорость звука. Зная критический ток перехода (кривая 1, на рис. 1) и критическую звуковую мощность S_c (кривая 3, на рис. 1) можно оценить коэффициент затухания низкочастотного звука в меди $\Gamma_{\text{Cu}} \approx 10^{-2} \text{ см}^{-1}$, что согласуется с литературными данными⁹.

Необходимо отметить, что паразитные термоэлектрические вклады в наблюдаемый эффект пренебрежимо малы. Выделение тепловой мощности при прохождении звукового потока S_c , по нашим оценкам, создает тепловой поток через переход значительно меньше, чем величина P_c (кривая 2, на рис. 1). Прямыми доказательством акустоэлектрического происхождения наблюдаемого эффекта является несовпадение знаков термоэлектрического и акустоэлектрического напряжений при одном направлении теплового и звукового потоков в переходе (кривые 2 и 3 на рис. 1). В соответствии с экспериментальными данными⁶ в термоэлектрическом эффекте для сэндвича Ta — Cu — Ta при температуре $T \approx 0,9 T_c^*$ преобладает вклад сверхпроводящего tantalа, знак термоЭДС которого и определяет знак термоэлектрического эффекта.

Авторы признательны Л.Г.Асламазову за помощь в осуществлении данной работы, а также Н.В.Заварицкому за сделанные замечания.

Литература

1. И.М.Суслов. ЖЭТФ, 1983, **85**, 1847.
2. Н.В.Заварицкий. ЖЭТФ, 1978, **75**, 1873.
3. Ю.М.Гальперин, В.Л.Гуревич, В.И.Козуб. ЖЭТФ, 1973, **65**, 1045.
4. М.В.Карцовник, В.В.Рязанов, В.В.Шмидт. Письма в ЖЭТФ, 1981, **33**, 373.
5. G.I.Panaitov, V.V.Ryazanov, A.V.Ustinov, V.V.Schmidt. Proc. 17-th Intern. Conf. on Low Temp. Physics (LT-17), part II, 1984, DL-19, 823.
6. Г.Ю.Логвинов, В.В.Рязанов. ФНТ, 1987, 13,
7. R.H.Parmenter. Phys. Rev. 1953, **89**, 990.
8. Дж.Райн, К.Джонс. Сб. "Физическая акустика" под ред. У.Мэзона и Р.Терстона, М.: изд. Мир, 1974.
9. А.Гранато, К.Люкке. Сб. "Физическая акустика" под ред. У.Мэзона и Р.Терстона, М.: изд. Мир, 1969.
10. С.Н.Артеменко, А.Ф.Волков. ЖЭТФ, 1976, **70**, 1051.